

סוג הבדיקה: גמר לבתי-ספר לטכנאים ולהנדסאים

מועד הבדיקה: אביב תשס"ז, 2007

סמל השאלה: 733911

נשפח: א. נושאון במערכות הספק

לכיתה י"ג

ב. נושאון במכונות חשמל והיינן

לכיתה י"ג

מערכות הספק ומכונות חשמל והיינן ט'

למתמחים במערכות הספק פיקוד ובקרה במוגמת הנדסת חשמל בקרה ואנרגיה

(כיתה י"ג)

הוראות לנבחון

- א. **משך הבדיקה:** ארבע שעות.
 - ב. **מבנה השאלה ופתח ההערכה:** בשאלון זה תשע שאלות.
יש להסביר על ארבע שאלות בלבד.
 לכל שאלה – 25 נקודות, סך-הcoil – 100 נקודות.
 - ג. **חומר עזר מותר לשימוש:** מחשבון.
 - ד. **הוראות מיוחדות:**
 1. ענה על מספר השאלות הנדרש בשאלון. המעריך יקרא וירעיך את מספר השאלות הנדרש בלבד, לפי סדר כתיבתן במחברתך, ולא יתיחס לתשובות נוספות.
 2. התחל כל תשובה לשאלה חדשה עמוד חדש.
 3. רשום את כל תשובה תיכון אך ורק בעט.
 4. הקפד לנסה את תשובה תיכון כהלכה ולסרטט את תרשימייך בבהירות.
 5. כתוב את תשובה תיכון בכתב-יד ברור, כדי לאפשר הערכה נאותה של תשובה תיכון.
 6. אם לדעתך חסרים נתונים הדורשים לפתרון שאלה, אתה רשאי להוסיף אותם, בתנאי שתתמק מודיע הוספת אותם.
 7. בכנתיבת פתרונות חישוביים, קיבלת מרב הנקודות מותנית בהשלמת כל המהלים שלහלן, בסדר שבו הם רשומים:
 - * רישום הנוסחה המתאימה.
 - * הצבה של כל הערכים ביחידות המתאימות.
 - * חישוב (אפשר באמצעות מחשבון).
 - * רישום התוצאה המתקבלת, ביחד עם יחידות המידה המתאימות.
 - * ליווי הפתרון החישובי בהסבר קצר.
- בשאלון זה 13 עמודים ו-38 עמודים של נושאון.**

הנחהיות בשאלון זה מנוסחות בלשון זכר,
אך מכונות לנבחנות ולנבחנים אחד.

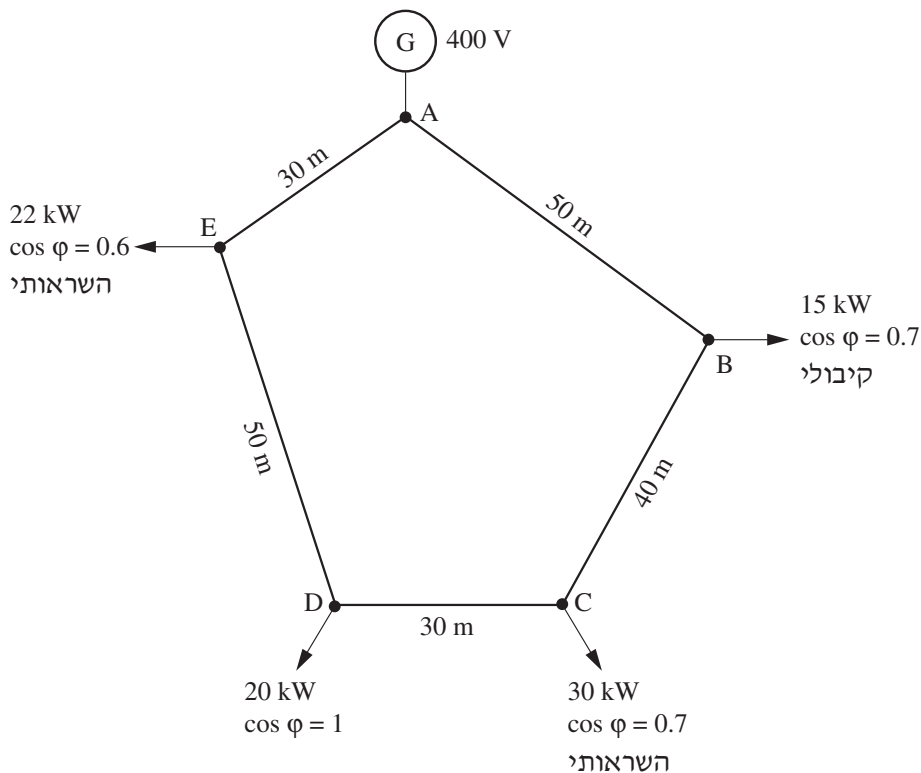
השאלות

ענה על ארבע מבין השאלות 1–9 (לכל שאלה – 25 נקודות).

פרק ראשון: מערכות הספק

שאלה 1

באיור לשאלה 1 נתונה רשת תלת-МОפועית, 400V / 50Hz, שמוליכיה עשויים נחושת. הנח $X_0 = 0.4 \Omega/km$.

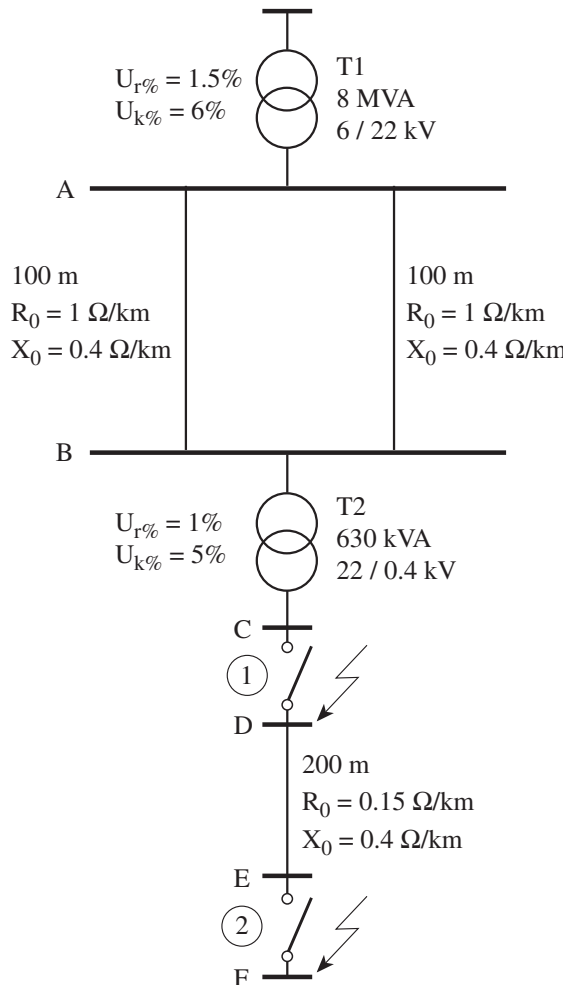


איור לשאלה 1

- חשב את שטח החתק האחד של מוליכי הרשת עבור מפל מתח מרבי מותר של 3%.
- קבע את שטח החתק המסחררי.
- על-פי שטח החתק המסחררי, חשב את כל הפסי הספק הממשיים ברשת.

שאלה 2

באיור לשאלה 2 נתונה רשת תלת-מופעית.



איור לשאלה 2

- חשב את זרם הקצר בפס הצבירה D .
- חשב את זרם הקצר בפס הצבירה F .
- קבע את כושר הניתוק הנדרש של מפסק ② .

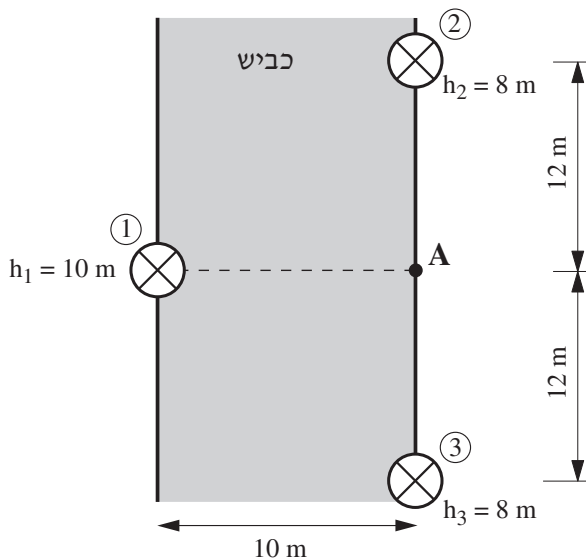
שאלה 3

א. באIOR א' לשאלה 3 נתון מקטע של כביש שרוחבו $m = 10$. מקטע הכביש מואר על-ידי שלושה עמודי תאורה: ① ; ② ו-③. הגבהים של עמודי התאורה נתונים באIOR (h_1 , h_2 , h_3). בכל עמוד תאורה מותקן גוף תאורה בודד הכלול נורה יחידה מסוג נטרון W 150 .

הערה: בחישוביך הייעזר בדיאגרמה הפולרית שבנושחאון – אופיין מס' I.

חשב את רמת ההארה בנקודות הבאות:

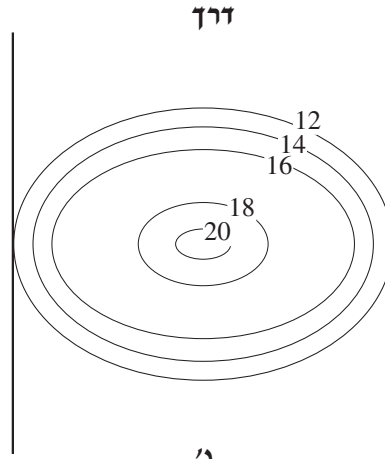
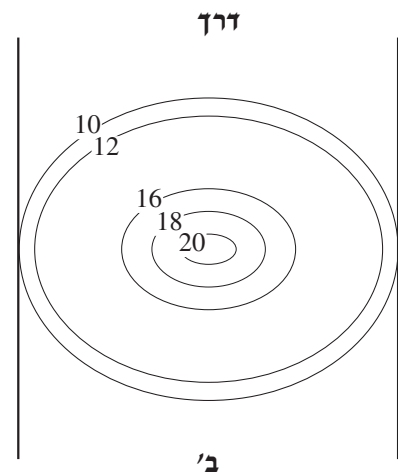
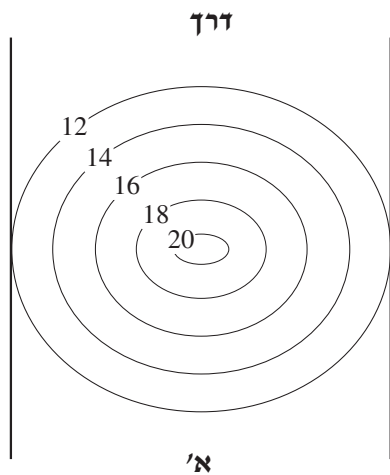
1. לרגלי עמוד התאורה ① .
2. בנקודה A הנמצאת על שפת הכביש.



איור א' לשאלה 3

- ב.** בתכנון באמצעות תוכנת מחשב עבור תאורט חוץ במקטע של דרכן, התקבלו שלוש עיקומות איזולוקסיות כמפורט באירור ב' לשאלת 3. כל עיקומה מתארת תכנון שונה. קבע איזו עיקומה היא המתאימה ביותר לכללים של תכנון תאורטה. נמק את תשובתך.

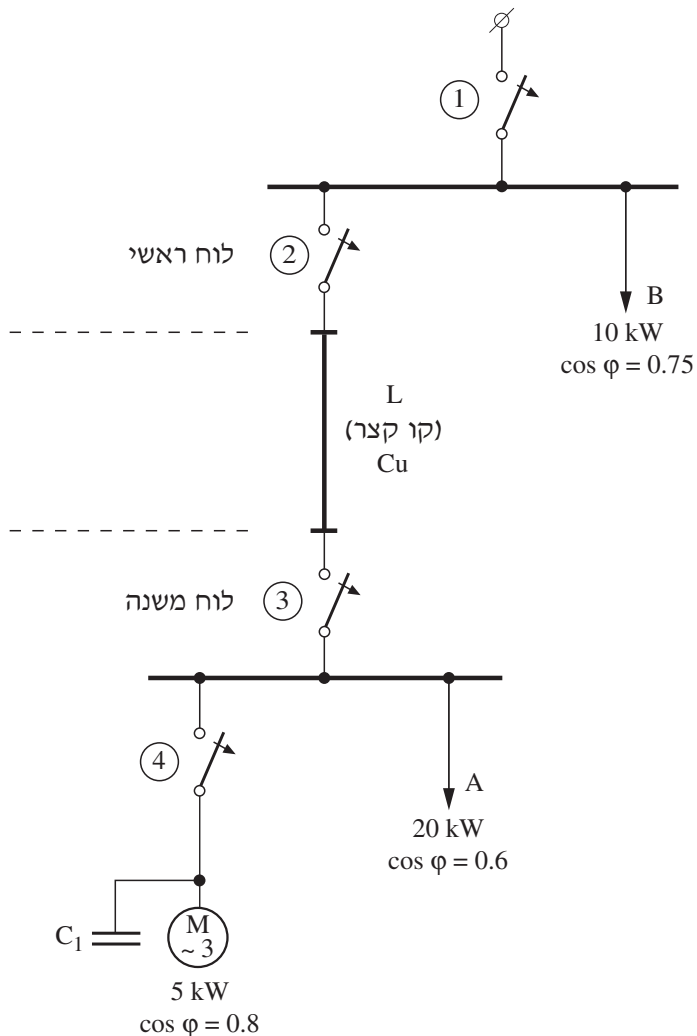
שים לב: כל הערכים המצוינים במפות האיזולוקסיות נתונים ב- מ^2 .



איור ב' לשאלת 3

שאלה 4

באיור לשאלה 4 נתון תרשים חשמלי חד-קורי של לוח חשמל ראשי ולוח חשמל משנה בפעולת. ההזנה היא תלת-МОפנית, $400V / 50Hz$. לצורך שיפור מקדם ההספק של ההזנה למנוע M, הותקנה סוללה קבולים C_1 בקייזז בודד. מקדם ההספק שופר ל-0.92.



איור לשאלה 4

- א. קבע את עוצמת הזרם של מפסק ② .
- ב. קבע את שטח החתך המסתורי של כבל L המחבר בין הלוח הראשי ללוח המשנה. הנח שטמפרטורת הסביבה היא 35°C .
- ג. כדי להקטין את שטח החתך של הcabel L המחבר בין הלוחות, הוחלט להתקין סוללת קבלים נוספת במערכת. קבע את מיקום התקנתה ואת גודלה (Q_C) לקבלת שטח חתך מיערי אפשרי של הcabel .
- ד. קבע את שטח החתך המסתורי החדש של הcabel L בהתאם לחישוביך בסעיף ג'.

פרק שני: המרת אנרגיה והינע

שאלה 5

נתוני הנקובים של מנוע זורם ישיר בעירור נפרד (זור) הם:

115 kW ; 600 V ; 205 A ; 1700 rpm

התנודות סליל העירור: Φ 240

התנודות סליל העוגן: Φ 0.15

הערה: הзнач בחישוביך את תגובת העוגן, מפל המתח על הפחמים והפסדים קבועים. סליל העירור מוזן במתח V 600 .

- א. חשב את המומנט המכני ונצילות המנוע בהעמסה הנקובה.
- ב. סרטט במחברתך את האופיין המכני הטבעי ($M = f$) העקרוני של המנוע וציין עליו את הנקודות הבאות:
 1. נקודת העבודה בעומס נקוב.
 2. נקודת העבודה בריקם.
 3. נקודת ההתנע.
- ג. חשב את מומנט ההתנע (בהתנע ישירה).
- ד. מגדילים את הזרם בסליל העירור פי 2 על-ידי שינוי במתח העירור. העומס על הציר נשאר קבוע. כיצד ישתנו זרם העוגן ומהירות המנוע לאחר זמן ממושך? נמק בקצרה.

שאלה 6

נתוניו הנקובים של מנוע השראה תלת-מופעי בעל רוטור מלופף הם:

$$22 \text{ kW} ; 400 \text{ V} / \lambda ; 50 \text{ Hz} ; 2p = 6$$

הפרמטרים החשמליים של סליליו המנוע הם:

$$R_1 = 0.17 \Omega ; R'_1 = 0.15 \Omega$$

$$X_1 = 1.3 \Omega ; X'_1 = 1.2 \Omega$$

הפסדי המנוע הכלולים הם: W = 1340 .

- א. חשב את מהירות הסיבוב של המנוע, את המומנט המכני על הציר, את נצילות המנוע ואת מקדם ההספק כאשר החליקה היא 3%.
- ב. קבע את ערכו של נגד נוספת המחויב בטור לכל אחד משלושת סלילי הרוטור, על מנת לקבל מומנט מרבי (מקסימלי) בעת ההתקעה. תאר את האופיין המכני ($n = f$) ב מקרה זה.
- ג. מקטינים את מתח ההזנה ל-80% מערכו הנוכחי. קבע את ערכו של המומנט המכני על הציר במקרה זה. הנח שמהירות המנוע קבועה ושויה לערך שחישבת בסעיף א'.

שאלה 7

נתוניו הנקובים של מנוע זרם ישיר בעירור מקבילי הם:

$$15 \text{ kW} ; 230 \text{ V} ; I_{a_n} = 73.5 \text{ A}$$

. כאשר המנוע מוזן במתח הנקוב זרם העוגן 41.5 A , נמדדה מהירות המנוע של 1150 rpm

התנגדות סליל העירור: $\Omega = 95$

התנגדות סליל העוגן: $\Omega = 0.124$

a. קבע את מהירותה הנקובה של המנוע.

b. תכין מתנע דרגתי להתנועת המנוע הנתון, כאשר:

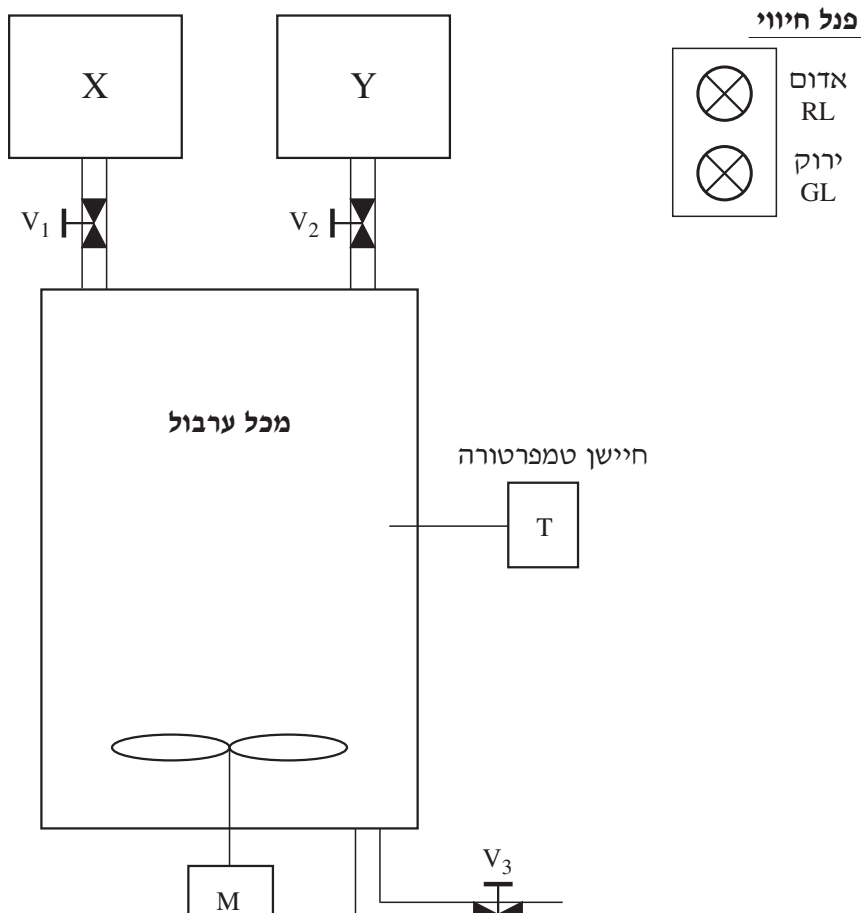
$$I_{\min} = I_{a_n} ; I_{\max} = 2 \cdot I_{a_n}$$

קבע את מספר דרגות המתנע ואת ערך ההתנגדות של נגד ההתנועה.

c. חשב את הפסדי ההספק החשמלי הכלולים ברגע ההתנועה.

פרק שלישי: מערכות פיקוד ממוחשבות ובקרים בני-תכנות**שאלה 8**

באיור לשאלה 8, נתון תרשים של מערכת ערבול לשני חומרים. כאשר החומרים מעורבים, מתרחשת ביניהם תגובה כימית המעלת את הטמפרטורה של הטרוכות.



התהlixir מבוקר באמצעות בקר בר-תכנות באופן הבא:

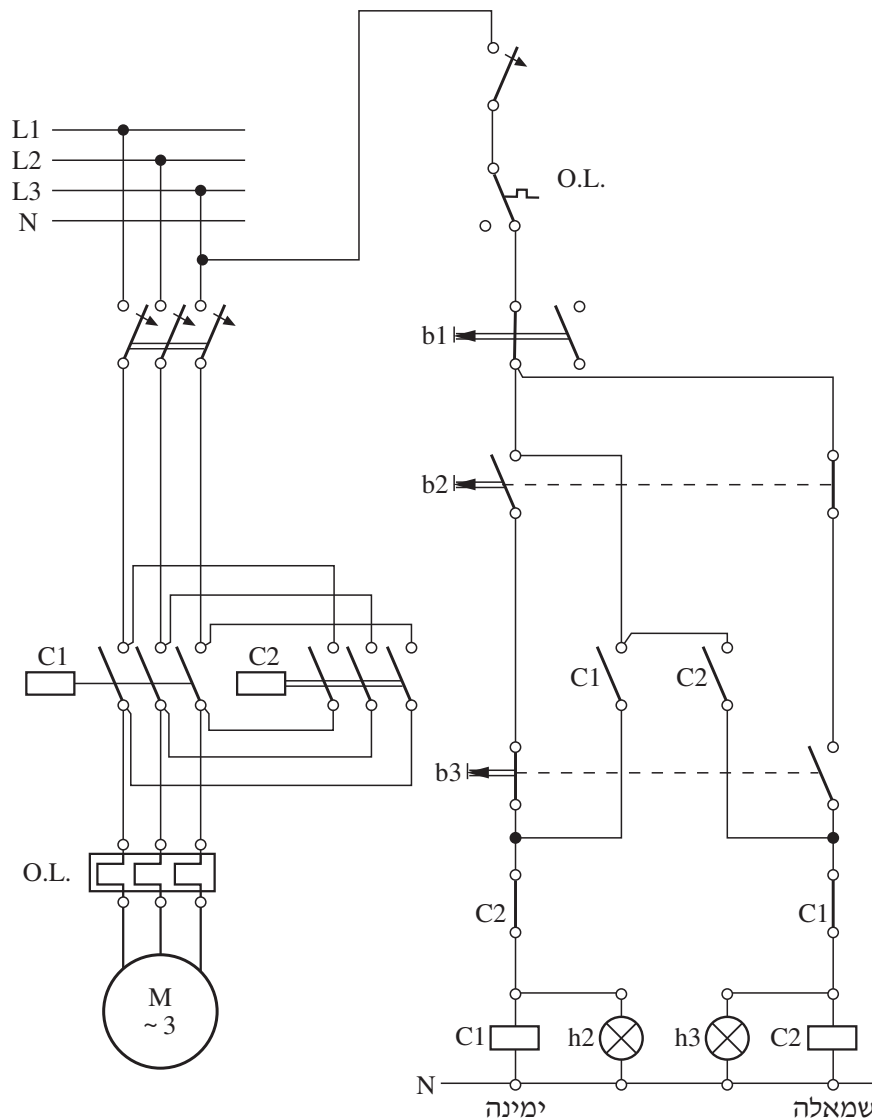
- .1 הפעלת המערכת על-ידי לחיצה על הלחץ START (B1).
- .2 השסתום V₁ נפתח למשך דקה אחת ומאפשר את כניסה החומר X למכל הערבול.
- .3 מנוע המערבב M מופעל עם פתיחת השסתום V₁.
- .4 כאשר הטמפרטורה במכל הערבול גבוהה מ-32 °C, נפתח השסתום V₂ למשך זמן של שתי דקות. בפרק זמן זה מוכנס החומר Y למכל הערבול, ובתום זמן זה המנוע M נעצר.
- .5 השסתום V₃ נפתח למשך דקה אחת אחרי שהמנוע M נעצר, ומהם מריםו.
- .6 המערכת תכלול את נורות החיווי הבאות:
 - נורה אדומה (RL) – דולקת כאשר המערכת פועלת.
 - נורה ירוקה (GL) – נדלקת בסוף התהlixir.
- .7 כיבוי המערכת על-ידי לחץ STOP (B2).

היישן הטמפרטורה T הוא אנלוגי, ותחום הפעולה שלו הוא 20 °C ÷ 80 °C.

- א.** הגדר את המבואות והמצאים של הבקר.
- ב.** תאר באמצעות דיאגרמת סולם את תכנית הפיקוד להפעלת המערכת.

שאלה 9

באיור לשאלה 9 נתונה תכנית פיקוד קונבנציונאלית ותכנית מעגל הכוח להפעלת מנוע תלת-מופעי. הוחלט להחליף את מערכת הפיקוד למערכת פיקוד באמצעות בקר בר-תכנות.



איור לשאלה 9

- א. הגדר את המבואות והמצאים של הבקר.
- ב. סרטוט דיאגרמת סולם של תכנית הפיקוד להפעלת המנווע.
- ג. סרטוט תרשימים חיוט מפורט שיכלול את מערכת הכוח, ואת המבואות והמצאים של הבקר.

בצלחה!

זכות היוצרים שמורה למדינת ישראל.
אין להעתיק או לפרסם אלא ברשות משרד החינוך.

Ncid נסחאות נסחאות

אין להעביר את הנוסחאות
 לנבחן אחר

נוסחאון במערכות הספק לכיתה י"ג

(16 עמודים)

.1. **מפלים מתח**

—	—	ΔU	[V]
—	—	γ	[m/Ωmm ²]
—	—	A	[mm ²]
—	—	I _k	[A]
—	—	L _k	[m]
—	—	ΔP	[W]

$$\Delta U = \frac{2}{\gamma A} \sum_{k=1}^{k=n} (I_k L_k)$$

$$\Delta P = \frac{2}{\gamma A} \sum_{k=1}^{k=n} (I_k^2 L_k)$$

מתוח חילופין חד-מורפטי

—	—	ΔU	[V]
—	—	ΔU _a	[V]
—	—	ΔU _r	[V]
—	—	X _o	[Ω/m]
היגב הקו ליחידת אורך עבור מוליך אחד	—	I _k	[A]
זרם בקטע k	—	L _k	[m]
אורך של קטע k	—	φ _k	
הزاوية בין מתוח לזרם בקטע k	—	—	
מוליכות סגולית של הمولיכים	—	γ	[m/Ωmm ²]
שטח חתך של המוליכים	—	A	[mm ²]
הפסדי הספק מרביים	—	ΔP	[W]
זרם ממשי בקטע k	—	I _a	[A]
זרם היגבי בקטע k	—	I _r	[A]

$$\Delta U = \Delta U_a + \Delta U_r$$

$$\Delta U_r = 2 X_o \sum_{k=1}^{k=n} I_k L_k \sin \varphi_k$$

$$\Delta U_a = \frac{2}{\gamma A} \sum_{k=1}^{k=n} (I_k L_k \cos \varphi_k)$$

$$\Delta P = \frac{2}{\gamma A} \sum_{k=1}^{k=n} (I_k^2 L_k) =$$

$$= \frac{2}{\gamma A} \sum_{k=1}^{k=n} (I_a^2 + I_r^2) \cdot L_k$$

$$I_a = I \cos \varphi$$

$$I_r = I \sin \varphi$$

$$I = \sqrt{I_a^2 + I_r^2}$$

$$\bar{I} = I_a + j I_r = I \angle \varphi_k$$

מתוך חילופין תלת-מופע

—	—	ΔU [V]
—	—	ΔU_a [V]
—	—	ΔU_r [V]
היגי הקו ליחידת אורך עבור מוליך אחד	—	X_o [Ω/m]
זרם בקטע k	—	I_k [A]
אורך של קטע k	—	L_k [m]
הزاوية בין מתח לזרם בקטע k	—	φ_k
מוליכות סגולית של הمولיכים	—	γ [$m/\Omega mm^2$]
שטח חתך של המוליכים	—	A [mm^2]
הפסדי הספק מרביים	—	ΔP [W]
זרם ממשי בקטע k	—	I_a [A]
זרם היגי בקטע k	—	I_r [A]

$\Delta U = \Delta U_a + \Delta U_r$
$\Delta U_r = \sqrt{3} X_o \sum_{k=1}^{k=n} (I_k L_k \sin \varphi_k)$
$\Delta U_a = \frac{\sqrt{3}}{\gamma A} \sum_{k=1}^{k=n} (I_k L_k \cos \varphi_k)$
$\Delta P = \frac{3}{\gamma A} \sum_{k=1}^{k=n} (I_k^2 L_k) =$
$= \frac{3}{\gamma A} \sum_{k=1}^{k=n} (I_a^2 + I_r^2)_k \cdot L_k$
$I_a = I \cos \varphi$
$I_r = I \sin \varphi$
$I = \sqrt{I_a^2 + I_r^2}$
$\bar{I} = I_a + j I_r = I \angle \varphi_k$

המוליכות הסגולית	—	γ [$m/\Omega mm^2$]
המשקל הסגולי	—	g [g/cm^3]

חומרים		
חומרן	נחושת	
35	57	γ
2.7	8.9	g

.2. התchmodות של מוליכים וכבלים

טמפרטורת הסביבה
בטבלת העמסה — T_1 [°C]

$$I'_{T1} = I_{T1} \sqrt{\frac{T_2 - T'_1}{T_2 - T_1}}$$

טמפרטורת הסביבה
האמיתית — T'_1 [°C]

הטמפרטורה המרבית
המוחדרת — T_2 [°C]

הזרם המותר למוליך
בטמפרטורת הסביבה על-פי
הטבלה — I_{T1} [A]

הזרם המותר למוליך
בטמפרטורת הסביבה
האמיתית — I'_{T1} [A]

מקדם תיקון לעבודה
מחוזרת (זמן המחזור עד
10 דקות) — c

הזרם המותר בעבודה
קבועה — I_n [A]

הזרם המותר בעבודה
מחוזרת — I [A]

$$I = c \cdot I_n$$

$$c = \frac{0.875}{\sqrt{\frac{t}{t_y}}}$$

זמן עבודה — t_y [min]
זמן המחזור — t [min]

2.1 כבליים מותקנים בתעלת רחבה, על מגש מחור או צמודים לקריר**מוליכים מוחושת – בידוד 90°C**

מעגל חד-מופעי			מעגל תלת-מופעי			
C מבטח B או I _n	I _z זרם מתמיד מרבי	S' ממ"ר	C מבטח B או I _n	I _z זרם מתמיד מרבי	S' ממ"ר	
אמפר			אמפר			
16	23	1.5	13	20	1.5	
20	30	2.5	20	28	2.5	
25	40	4	25	36	4	
40	53	6	32	41	6	
	73	10		66	10	
	99	16		88	16	
	130	25		118	25	
	160	35		145	35	
	196	50		175	50	
	248	70		223	70	
	300	95		270	95	
	348	120		313	120	

טמפרטורה אופפת: 35°C

2.1.1 מקודם תיקון עבור טמפרטורה אופפת שונה של הסביבה (בידוד 90°)

טמפרטורה אופפת של הסביבה (°C)										
55	50	45	40	35	30	25	20	15	10	
0.80	0.85	0.90	0.95	1.00	1.04	1.09	1.13	1.17	1.21	

2.1.2 מקודם תיקון עבור התקנת כבליים רב-גידיים ללא רווח ביןיהם

(1) התקנה בשכבה אחת:

מספר הcabלים						המקדים
9	6	4	3	2		המקדים
0.66	0.68	0.70	0.73	0.80		המקדים

(2) התקנה בשכבות אחדות או במקובץ:

מספר הcabלים									המקדים
12	10	8	6	5	4	3	2		המקדים
0.45	0.48	0.52	0.57	0.60	0.65	0.70	0.80		המקדים

2.2 כבליים טמוגנים במישרין באדמה עם כיסוי מגן – בידוד °C 90**כבל רב-גידי במעגל תלת-מודעי**

מוליכים מอลומיניום		מוליכים מנחושת		חתך S ממ"ר
זרם מתמיד I_z	חתך S ממ"ר	זרם מתמיד מרבי I_z	אםפר	
אםפר				
		28		1.5
		36		2.5
		44		4
43	6	56		6
59	10	76		10
76	16	97		16
94	25	124		25
115	35	148		35
138	50	179		50
171	70	220		70
206	95	265		95
235	120	303		120
263	150	339		150
298	185	382		185
345	240	442		240

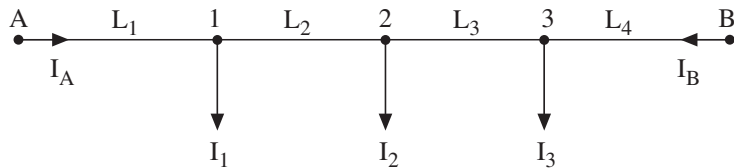
טמפרטורה אופפת של האדמה: °C 30

2.2.1 מקדים תיקון עבור טמפרטורה אופפת שונה של האדמה

טמפרטורה אופפת של האדמה (°C)									
55	50	45	40	35	30	25	20	15	10
0.77	0.82	0.87	0.91	0.96	1.00	1.04	1.08	1.12	1.15

2.2.2 מקדים תיקון עבור התקנת כבליים אחידים באדמה

מספר המעגלים			מעגלים צמודים						אופן התקנת המעגלים
4	3	2	0.59	0.66	0.78	0.67	0.72	0.83	
0.59	0.66	0.78							
0.67	0.72	0.83	מעגלים שהמරחק המזערי בין המעטים שלם 7 ס"מ						

3. חישובים ברשתות**רשת בעלת זינה משנה כיוונים במתחים זהים, ושטח חתך אחיד של המוליכים**

$$I_A = \frac{I_1(L_2 + L_3 + L_4) + I_2(L_3 + L_4) + I_3 \cdot L_4}{L_1 + L_2 + L_3 + L_4}$$

$$I_B = \frac{I_1 \cdot L_1 + I_2(L_1 + L_2) + I_3(L_1 + L_2 + L_3)}{L_1 + L_2 + L_3 + L_4}$$

רשת בעלת זינה משנה כיוונים במתחים שונים בעלי מופעים זהים, ושטח חתך אחיד של המוליכים

מומנט ההשוואה	—	M	[Am]
הפרש המתחים בין שני מקורות המתח	—	ΔU	[V]
מוליכות סגולית	—	γ	[m/ Ω mm ²]
שטח חתך של מוליצי הרשת	—	A	[mm ²]

$M = \frac{\Delta U \cdot \gamma \cdot A}{2}$	<u>זרם ישר או זרם חילופין חד-מופעי</u>
$M = \frac{\Delta U \cdot \gamma \cdot A}{\sqrt{3}}$	<u>זרם חילופין תלת-מופעי</u>

$$I_A = \frac{I_1(L_2 + L_3 + L_4) + I_2(L_3 + L_4) + I_3 L_4 \pm M}{L_1 + L_2 + L_3 + L_4}$$

$$I_B = \frac{I_1 L_1 + I_2(L_1 + L_2) + I_3(L_1 + L_2 + L_3) \pm M}{L_1 + L_2 + L_3 + L_4}$$

.4.

SHIPOR MAKZIM HAHASPEK

ההספק ההיגבי של סוללה	—	Q_c	[kVAr]
הקבלים התלת-МОפועיים			
הנדרשת לשיפור מקדם			
ההספק			
הספק אקטיבי הנוצר	—	P	[kW]
מהרשת			
הזרות לפני השיפור	—	φ_1	[°]
הזרות אחרי השיפור	—	φ_2	[°]
קיבול הקבל הנדרש	—	C	[μF]
ההספק ההיגבי של הקבל	—	Q_{cl}	[kVAr]
במוף אחד			
תדירות הרשת	—	f	[Hz]
המתח על פני הקבל הנדרש	—	U_c	[V]

$$Q_c = P(\operatorname{tg} \varphi_1 - \operatorname{tg} \varphi_2)$$

$$Q_{cl} = \frac{Q_c}{3}$$

$$C = \frac{Q_{cl} \cdot 10^9}{U_c^2 \omega}$$

$$\omega = 2\pi f$$

התנגדות נגד הפריקה	—	R	[Ω]
קיבול הקבל	—	C	[F]
המתח בתחילת הפריקה	—	U_o	[V]
המתח של הקבל בעבר	—	U_c	[V]
זמן t .			
זמן הפריקה	—	t	[s]
הלוגריתם הטבעי	—	\ln	

$$R = \frac{t}{C \ln \frac{U_o}{U_c}}$$

5. זרמי הקצר

זרם קצר תלת-מופעי סימטרי	-	I_k	[A]
עכבות מעגל הקצר (מההמקור למקום הקצר) למופע אחד	-	Z	[Ω]
הספק מדומה של שניי הספק מדומה של גנרטור	-	S_T	[VA]
היגב של גנרטור למופע אחד	-	S_G	[VA]
היגב מערכת אספקה במתוח גובה הספק הקצר של המערכת	-	X_G	[Ω]
הנתנדות של שניי למופע אחד	-	X_S	[Ω]
היגב של גנרטור למופע אחד	-	S_K	[UV]
סכום ההנתנדויות במעגל הקצר למופע אחד	-	R_T	[Ω]
סכום ההיגבים במעגל הקצר למופע אחד	-	X_T	[Ω]
מתוח הקצר באחוזים	-	ΣR	[Ω]
הרכיב המשי של מתוח הקצר באחוזים	-	ΣX	[Ω]
הרכיב ההיגבי של מתוח הקצר באחוזים	-	U	[V]
הנתנדות הקו ליחידת אורך	-	$U_{k\%}$	[%]
הנתנדות הקו	-	$U_r\%$	[%]
היגב הקו ליחידת אורך	-	$U_x\%$	[%]
הנתנדות המופעי שבו נתוניים X_1 וhhיגב R_1	-	R_o	[Ω/km]
הנתנדות השלב שבו נתוניים X_1 וhhיגב R_1	-	R_L	[Ω]
הנתנדות המופעי שallow רוצים לשקר את ההנתנדות R_1 ואת hhיגב X_1	-	X_o	[Ω/km]
הנתנדות המופעי שallow רוצים לשקר את ההנתנדות R_1 ואת hhיגב X_1	-	X_L	[Ω]
הנתנדות המופעי שallow רוצים לשקר את ההנתנדות R_1 ואת hhיגב X_1	-	L	[km]
הנתנדות המופעי שallow רוצים לשקר את ההנתנדות R_1 ואת hhיגב X_1	-	U_{1ph}	[V]
הנתנדות המופעי שallow רוצים לשקר את ההנתנדות R_1 ואת hhיגב X_1	-	U_{IL}	[V]
הנתנדות המופעי שallow רוצים לשקר את ההנתנדות R_1 ואת hhיגב X_1	-	U_{2ph}	[V]
הנתנדות המופעי שallow רוצים לשקר את ההנתנדות R_1 ואת hhיגב X_1	-	U_{2L}	[V]
הנתנדות המופעי שallow רוצים לשקר את ההנתנדות R_1 ואת hhיגב X_1 אשר הועברו למתח U_2	-	R'_1, X'_1	[Ω]
מקדם ההמרה	-	K	

$I_K = \frac{1.1 \cdot U}{\sqrt{3} Z}$
$X_G = \frac{U_{x\%} U^2}{100 S_G}$
$X_S = \frac{U^2}{S_K}$
$R_T = \frac{U_{r\%} U^2}{100 S_T}$
$X_T = \frac{U_{x\%} U^2}{100 S_T}$
$U_{k\%} = \sqrt{U_{r\%}^2 + U_{x\%}^2}$
$Z = \sqrt{(\Sigma X)^2 + (\Sigma R)^2}$
$R_L = R_o \cdot L$
$X_L = X_o \cdot L$
$R' = R_1 \cdot K^2$
$X' = X_1 \cdot K^2$
$K = \frac{U_{2ph}}{U_{1ph}} = \frac{U_{2L}}{U_{IL}}$

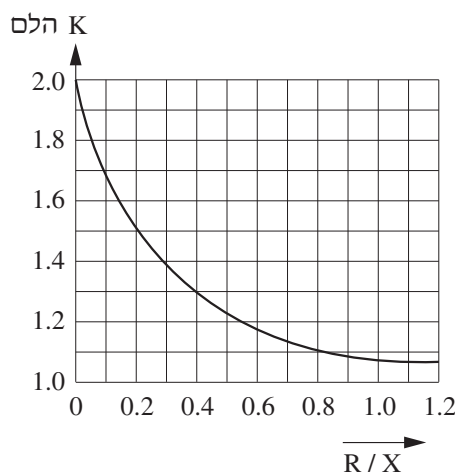
5.1 נוסחאות לחישוב זרם קצר תלת מופעי וזרם הלם

רכיב מתחורי של זרם קצר	i_k
רכיב זרם ישיר (רכיב אקספוננציאלי)	i_a
זווית המתח ברגע הופעת הקצר ($t = 0$)	α
זווית המופע של עכבות הקצר	φ_k
קבוע זמן של מעגל הקצר	σ
ערך שיא של זרם הקצר	$I_{\text{העם}}$
מקדם ההלם	$K_{\text{העם}}$

$i = i_k + i_a$
$i_k = \sqrt{2} I_k \sin(\omega t + \alpha - \varphi_k)$
$i_a = -\sqrt{2} I_k \sin(\alpha - \varphi_k) e^{-\frac{t}{\sigma}}$
$\sigma = \frac{L}{R}$
$I_{\text{העם}} = \sqrt{2} \cdot I_k \cdot K_{\text{העם}}$

5.2 ערכי מקדם ההלם המובאים:

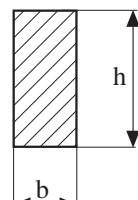
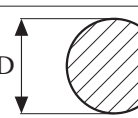
	0	0.15	0.2	0.3	0.4	0.5	0.6	0.7	0.8	0.9	1	1.2	R_k/X_k
2	1.6	1.5	1.4	1.3	1.2	1.2	1.1	1.1	1.08	1.06	1.04	k _{העם}	

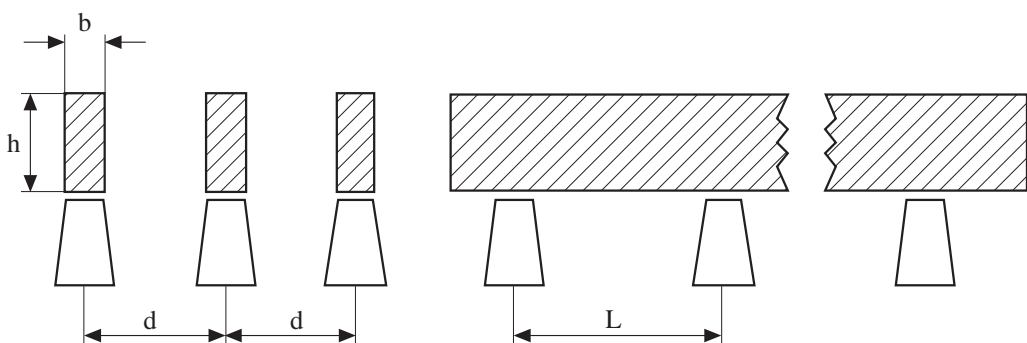


.6. פסי הצבירה

הכוח הפועל על פס באורך	F	[kg/m]
1m		
זרם הקייזר	I_k	[kA]
המרחק בין המרכזים של	d	[cm]
פסי הצבירה		
מאץ הכבידה	σ	[kg/cm ²]
הכוח הפועל על הפס בקטע	P	[kg]
בין שני מבדדים		
אורך הפס בין שני מבדדים	L	[cm]
מומנט ההתנגדות (מודול החתך)	W	[cm ³]
— מקדם האלסטיות	E	[kg/cm ²]
— מומנט התמדדה (איינרציה)	J	[cm ⁴]
— המשקל של פס באורך	G	[kg]
1 cm		
— תדריות התווודה	f	[Hz]
העצמיות		
— רוחב הפס	b	[cm]
— גובה הפס	h	[cm]
— קוטר הפס	D	[cm]
— המשקל הסגוליל	g	[kg/cm ³]

$F = 1.76 \frac{I_k^2}{d}$
$P = F \frac{L}{100}$
$\sigma = \frac{P \cdot L}{12W}$
$f = \frac{112}{L^2} \sqrt{\frac{E \cdot J}{G}}$

חתך	J	W	G
	$\frac{b^3 h}{12}$	$\frac{b^2 h}{6}$	$b \cdot h \cdot g$
	$0.05 D^4$	$0.1 D^3$	$\frac{\pi D^2}{4} \cdot g$



נתונים של מוליכי Fe-Al שזורים וגולויים בטמפרטורת סביבה 20 °C

I [A]	D _m [cm]										R ₀ [Ω/km]	קוטר [mm]	שטח חתך [mm ²]
	56	100	200	300	400	500	600	700	1000	X ₀ [Ω/km]			
90	0.351	0.386	0.429	0.455	0.473	0.487	0.498	0.508	0.530	1.875	5.4	16/2.5	
125	0.336	0.371	0.415	0.440	0.458	0.472	0.484	0.493	0.515	1.205	6.8	25/4	
145	0.325	0.361	0.404	0.429	0.447	0.461	0.473	0.482	0.505	0.837	8.1	35/6	
170	0.315	0.350	0.393	0.419	0.437	0.451	0.462	0.472	0.494	0.594	9.6	50/8	
235	0.303	0.338	0.381	0.407	0.425	0.439	0.450	0.460	0.482	0.434	11.6	70/12	
290	0.294	0.329	0.372	0.398	0.416	0.430	0.441	0.451	0.473	0.319	13.4	95/15	
345	0.284	0.319	0.362	0.388	0.406	0.420	0.431	0.441	0.463	0.234	15.7	120/21	
355	0.282	0.318	0.361	0.386	0.404	0.418	0.430	0.439	0.462	0.233	16.1	125/29	
400	0.278	0.313	0.356	0.382	0.400	0.414	0.425	0.435	0.457	0.194	17.3	150/25	
440	0.272	0.308	0.351	0.376	0.394	0.408	0.420	0.429	0.452	0.169	18.9	170/40	
455	0.271	0.307	0.350	0.375	0.393	0.407	0.419	0.428	0.451	0.156	19.2	185/32	
490	0.267	0.302	0.346	0.371	0.389	0.403	0.415	0.424	0.446	0.137	20.5	210/36	
505	0.266	0.301	0.344	0.370	0.388	0.402	0.413	0.423	0.445	0.137	21.0	210/50	
530	0.263	0.299	0.342	0.368	0.386	0.400	0.411	0.421	0.443	0.121	21.7	240/40	
615	0.257	0.292	0.335	0.361	0.379	0.393	0.404	0.414	0.436	0.097	24.2	300/50	
630	0.251	0.286	0.330	0.355	0.373	0.387	0.398	0.408	0.430	0.095	26.6	310/100	
680	0.247	0.283	0.326	0.351	0.369	0.383	0.395	0.404	0.427	0.085	28.1	340/110	

נתונים של מוליכי חמרן וחושת שזורים וגולויים בטמפרטורת סביבה 20 °C

Al		Cu		D _m [cm]										קוטר [mm]	שטח חתך [mm ²]
I	R ₀	I	R ₀	56	100	200	300	400	500	600	700	1000	X ₀ [Ω/km]		
[A]	[Ω/km]	[A]	[Ω/km]	X ₀ [Ω/km]										[mm]	[mm ²]
—	—	70	1.786	0.368	0.403	0.446	0.472	0.490	0.504	0.515	0.525	0.547	4.1	10	
92	1.805	115	1.123	0.354	0.389	0.433	0.458	0.476	0.490	0.502	0.511	0.533	5.1	16	
121	1.185	151	0.738	0.341	0.376	0.420	0.445	0.463	0.477	0.488	0.498	0.520	6.3	25	
149	0.845	174	0.525	0.330	0.365	0.409	0.434	0.452	0.466	0.477	0.487	0.509	7.5	35	
187	0.587	234	0.364	0.319	0.354	0.397	0.423	0.441	0.455	0.466	0.476	0.498	9.0	50	
226	0.435	282	0.271	0.309	0.344	0.388	0.413	0.431	0.445	0.456	0.466	0.488	10.5	70	
282	0.309	357	0.192	0.298	0.333	0.377	0.402	0.420	0.434	0.445	0.455	0.477	12.5	95	
329	0.245	411	0.153	0.291	0.326	0.370	0.395	0.413	0.427	0.438	0.448	0.470	14.0	120	
382	0.196	477	0.122	0.283	0.319	0.362	0.387	0.405	0.419	0.431	0.440	0.463	15.8	150	
435	0.158	544	0.098	0.277	0.312	0.356	0.381	0.399	0.413	0.424	0.434	0.456	17.5	185	
502	0.126	630	0.078	0.270	0.305	0.349	0.374	0.392	0.406	0.417	0.427	0.449	19.6	240	
513	0.118	641	0.074	0.268	0.303	0.346	0.372	0.390	0.404	0.415	0.425	0.447	20.3	240	
598	0.096	747	0.060	0.261	0.297	0.340	0.365	0.383	0.397	0.409	0.418	0.441	22.5	300	

כפיות הזרם החד שנייתית ב- $[A/mm^2]$

טמפרטורת המוליך לפני הקצר [$^{\circ}C$]	טמפרטורה גבולית Cu – [$^{\circ}C$]				טמפרטורה גבולית Al – [$^{\circ}C$]			
	130	150	170	200	130	150	170	200
5	144	153	161	173	96	102	108	114
10	141	150	158	170	94	100	106	113
15	137	146	155	167	91	98	104	111
20	133	143	152	164	89	95	102	109
25	130	140	149	161	87	93	99	107
30	126	136	145	158	84	91	97	105
35	122	135	142	155	82	89	95	103
40	118	129	139	152	80	87	93	102
45	114	125	135	149	77	85	91	100
50	110	122	132	146	75	82	89	97
55	106	118	129	143	72	80	87	95
60	103	115	126	140	69	77	85	93
65	—	111	122	137	67	75	82	91
70	—	108	119	134	64	72	80	89
75	—	104	116	131	61	70	78	87
80	—	110	112	128	58	67	76	85
85	—	96	109	125	55	65	73	83
90	—	92	105	122	51	62	71	81
95	—	88	102	119	48	59	68	79
100	—	84	98	115	44	56	65	75

הגנה נגד התחלמות בשיטת האיפוס

.7

עכבות לולאת תקלה למתקנים בעלי מתח נומינלי של 7 230 לאדמה, המוגנים על-ידי

נתיבים בעלי אופיינו I_g או מפסקים אוטומטיים זעירים בעלי אופיינו מדגם B

I_k [A]	Z_1 [Ω]	זרם נקוב
		I_n [A]
26	8.85	6
47	4.89	10
72	3.19	16
90	2.55	20
120	1.91	25
164	1.40	32
183	1.25	35
205	1.12	40
250	0.92	50
360	0.63	63
450	0.51	80
580	0.39	100

.8 תאוריה

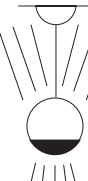
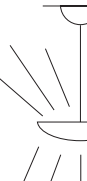
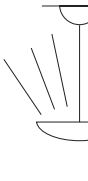
שטח אוור ונצלות של מקורות אוור שונים

<u>נצלות [lm/W]</u>	<u>שטח אוור [lm]</u>	<u>נורות להט (V 220)</u>
9.2	230	25 W
10.7	430	40 W
12.2	730	60 W
13.8	1380	100 W
15.7	3140	200 W
16.7	5000	300 W
16.8	8400	500 W
<u>נורות להט (עם תוספת יוד)</u>		
22.0	22000	1000 W
<u>נורות פלורסנטיות</u>		
57	2950	40 W לבן בהיר
46	2300	כנ"ל לבן אוניברסלי
38	1900	כנ"ל לבן חמימים
61	4750	65 W לבן בהיר
46	3600	כנ"ל לבן אוניברסלי
40	3150	כנ"ל לבן חמימים
<u>נורות כספית (לחץ גבוה)</u>		
39	3400	80 W
41	5600	125 W
45	12000	250 W
49	21000	400 W
<u>נורות תערובת (כספית + להט)</u>		
18	2900	160 W
21	5200	250 W
25	12500	500 W
<u>נורות נתרן</u>		
72	4400	40 W
91	7400	60 W
90	12500	100 W
108	20500	150 W
125	30000	200 W

הערות: 1. בנורות פריקה – ההספק נתון עבור הנורה בלבד.

2. הנצלות מחושבת גם על-פי ההפסדים מצד העוזר.

חישוב תאורה כללית

				
תאורה ישירה 0 %	תאורה ישירה 70 %	תאורה שווה $\frac{45}{35}$ %	תאורה בלתי ישירה $\frac{70}{10}$ %	תאורה בלתי ישירה 0 %



$$R_K = \frac{2a + b}{6h}$$

— מקדם האולם — R_K — רוחב האולם — a [m]— אורך האולם — b [m]

$$R_K = \frac{2a + b}{4h}$$

— המרחק האנכי בין התקורה
ומשלטת העבודה — h [m]— המרחק האנכי של גופ התאורה
משטח העבודה — h' [m]— שטף האור הנדרש — ϕ [lm]— עוצמת המאור הנדרשת — E [lx]— שטח האולם — A [m^2]— מקדם ההפרחתה — k — נצילות התאורה — η [%]

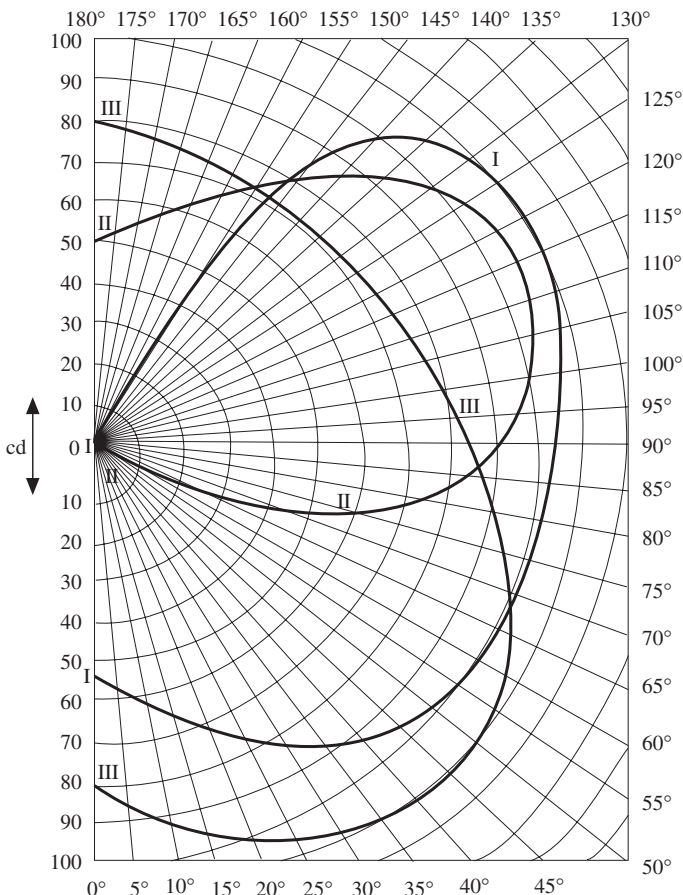
$$\phi = \frac{E \cdot A \cdot 100}{k \cdot \eta}$$

מקדמי הפחטה k

תאורה פלורנסנטית		תאורות כספית			תאורות ליבון			סוג התאורה		סוג גופי התאורה
מרובה	מעט	מרובה	מעט	מרובה	מעט	מרובה	מעט	מצב האבק		
0.55	0.75	0.6	0.8	0.6	0.85					גופים לתאורה ישירה
0.37	0.7	0.4	0.7	0.4	0.75					גופים לתאורה שווה
0.3	0.6	0.35	0.65	0.35	0.7					גופים לתאורה בלתי ישירה

נצילות התאורה η

30		50			75			◀———— (%) החזרה מהתקירה	◀———— (%) החזרה מהקירות	R_K	סוג גוף התאורה
10	30	10	30	50	10	30	50				
31	34	31	34	38	31	34	39			0.6	
40	42	41	43	46	42	44	47			0.8	
45	47	46	47	50	47	48	51			1.0	
51	52	52	53	56	52	55	58			1.5	
55	57	58	58	60	57	59	61			2.0	
61	62	62	63	66	62	65	68			3.0	
64	66	65	67	69	67	69	71			5.0	
23	25	23	26	32	23	27	32			0.6	
30	34	30	34	39	31	35	40			0.8	
35	36	35	39	43	36	39	44			1.0	
42	45	42	46	50	43	47	52			1.5	
46	50	47	51	55	48	52	57			2.0	
53	56	54	57	62	54	59	65			3.0	
60	61	60	63	67	62	66	71			5.0	
17	18	18	19	21	19	21	24			0.6	
21	22	23	24	26	26	27	30			0.8	
24	25	25	27	29	29	30	32			1.0	
27	28	29	31	32	33	35	38			1.5	
29	31	32	34	35	36	38	40			2.0	
32	33	35	37	39	40	42	45			3.0	
34	35	38	39	41	44	46	48			5.0	
7	8	9	11	14	12	14	18			0.6	
9	10	13	15	17	17	19	22			0.8	
11	12	15	17	20	19	22	26			1.0	
14	15	19	21	24	25	28	32			1.5	
15	17	24	24	27	29	32	35			2.0	
19	20	27	28	31	35	38	42			3.0	
22	23	31	33	36	42	44	48			5.0	
3	4	6	8	9	10	11	15			0.6	
4	6	9	10	12	13	15	19			0.8	
5	7	10	12	14	16	19	22			1.0	
8	9	14	16	19	21	24	28			1.5	
10	11	17	18	21	25	28	32			2.0	
12	13	21	22	25	31	34	38			3.0	
15	16	25	27	29	38	41	43			5.0	

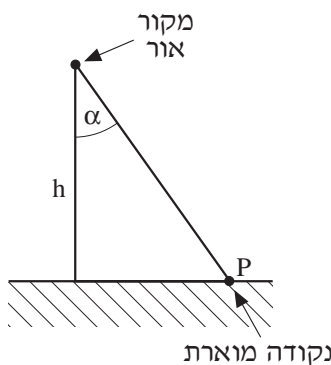
דיאגרמה פולרית של מקור אור בעל 1000 lm

צפיפות ההאלה לכל
מכיוון 1000 lm — I_α [cd]

עוצמת ההאלה לכל
מכיוון 1000 lm — E_α [lx]

גובה מעל משטח
ההאלה — h [m]

$$E_\alpha = \frac{I_\alpha}{h^2} \cos^3 \alpha$$



סוג הבדיקה: גמר לבתי-ספר לטכנאים ולהנדסאים
מועד הבדיקה: אביב תשס"ז, 2007
שם השאלון: 733911

מדינת ישראל

משרד החינוך

נקודות נגיעה ל淮南

אין להזכיר את הנוסחאות
לנבחן אחר

נוסחאות במערכות תלת מופעיות (22 עמודים)

1. מבוא למערכות תלת מופעיות

כוכב סימטרי

- | | | | |
|-------------------|---|----------|-----|
| זרם קוווי | — | I_L | [A] |
| זרם מופעי | — | I_{ph} | [A] |
| מתוח שלוב (קוווי) | — | U_L | [V] |
| מתוח מופעי | — | U_{ph} | [V] |

$$I_L = I_{ph}$$

$$U_L = \sqrt{3} \cdot U_{ph}$$

משולש סימטרי

$$U_L = U_{ph}$$

$$I_L = \sqrt{3} \cdot I_{ph}$$

הספק תלת מופעי

- | | | | |
|----------------------|---|-----|-------|
| הספק מדומה תלת-מופעי | — | S | [VA] |
| הספק פועל תלת-מופעי | — | P | [W] |
| הספק היגבי תלת-מופעי | — | Q | [VAr] |

$$S = \sqrt{3} \cdot U_L \cdot I_L$$

$$P = \sqrt{3} \cdot U_L \cdot I_L \cos \varphi$$

$$Q = \sqrt{3} \cdot U_L \cdot I_L \sin \varphi$$

2. שנאים

2.1 מתח מושרہ בסליל

כאמ' מושרہ בסליל הראשוני — E_1 [V]

$$E_1 = 4.44 f \Phi_{\max} N_1$$

כאמ' מושרہ בסליל השניוני — E_2 [V]

$$E_2 = 4.44 f \Phi_{\max} N_2$$

שטח מרבי בגרעין — Φ_{\max} [Wb]

מספר הכריכות בסליל הראשוני — N_1

מספר הכריכות בסליל השניוני — N_2

תדירות — f [Hz]

השראה מגנטית מרבית — B_{\max} [Wb / m²]

$$\Phi_{\max} = B_{\max} A$$

שטח החתך של הגרעין — A [m²]

יחס השנאה — a

שנאי חד-מופעי:

מתח בסליל הראשוני — U_1 [V]

$$a \equiv \frac{N_1}{N_2} = \frac{U_1}{U_2} = \frac{I_2}{I_1}$$

מתח בסליל השניוני — U_2 [V]

זרם בסליל הראשוני — I_1 [A]

שנאי תלת-מופעי:

זרם בסליל השניוני — I_2 [A]

$$a \equiv \frac{N_1}{N_2} = \frac{U_{1ph}}{U_{2ph}} = \frac{I_{2ph}}{I_{1ph}}$$

2.2 ניסוי קצר

- יחס השנאה — a
- התנגדות הסליל השניוני — R_2 [Ω]
- התנגדות הסליל השניוני משוקפת לראשוני — R'_2 [Ω]
- היגב השראומי של הסליל השניוני — X_2 [Ω]
- היגב השראומי של הסליל השניוני משוקף לראשוני — X'_2 [Ω]
- התנגדות הקצר — R_k [Ω]
- היגב הקצר של השנאי — X_k [Ω]
- עכבות הקצר של השנאי — Z_k [Ω]
- מתח הקצר של השנאי — U_k [V]
- זרם הקצר של השנאי — I_k [A]
- מתח קצר באחוזים מהמתח הנקוב — $U_{k\%}$

$$R'_2 = R_2 \cdot a^2$$

$$X'_2 = X_2 \cdot a^2$$

$$R_k = R_1 + R'_2$$

$$X_k = X_1 + X'_2$$

$$Z_k = \sqrt{R_k^2 + X_k^2}$$

$$U_{k\%} = \frac{U_k}{U_n} \cdot 100$$

2.3 פעולות השנאי בקצר ובריקם

שנאי תלת-מופעי בקצר

הספק	P_k [W]	$P_k = 3 \cdot I_{phk}^2 \cdot R_k$	$P_k = I_k^2 \cdot R_k$
בקצר			
זרם קצר	I_k [A]	$P_k = \sqrt{3} \cdot U_k I_k \cos \varphi_k$	$P_k = U_k I_k \cos \varphi_k$
התנגדות הקצר	R_k [Ω]		
היגב	X_k [Ω]	$\Delta U_R \% = \frac{I_{1phn} \cdot R_k}{U_{1phn}} \cdot 100$	$\Delta U_R \% = \frac{I_{1n} R_k}{U_{1n}} \cdot 100$
בקצר			
		$\Delta U_X \% = \frac{I_{1phn} \cdot X_k}{U_{1phn}} \cdot 100$	$\Delta U_X \% = \frac{I_{1n} X_k}{U_{1n}} \cdot 100$

שנאי תלת-מופעי ברייקם:

זרם ריקם באחזוים	$I_{o\%}$	$I_{o\%} = \frac{I_{pho}}{I_{phn}} \cdot 100 = \frac{I_o}{I_n} \cdot 100$	$I_{o\%} = \frac{I_o}{I_n} \cdot 100$
זרם הפסדי ברזול	I_{Fe} [A]	$I_{Feph} = \frac{P_o}{3 \cdot U_{nph}}$	$I_{Fe} = \frac{P_o}{U_n}$
זרם המגנטות התנגדות מותאמת להפסדי ברזול	I_μ [A]	$I_{\mu ph} = \sqrt{I_{oph}^2 - I_{Feph}^2}$	$I_\mu = \sqrt{I_o^2 - I_{Fe}^2}$
זרם מגנטות מותאמת להפסדי ברזול	R_{Fe} [Ω]	$R_{Fe} = \frac{U_{nph}}{I_{Feph}}$	$R_{Fe} = \frac{U_n}{I_{Fe}}$
זרם ריקם בריקם	X_μ [Ω]	$X_\mu = \frac{U_{nph}}{I_{\mu ph}}$	$X_\mu = \frac{U_n}{I_\mu}$
	I_o [A]	$P_o = \sqrt{3} \cdot U_n \cdot I_o \cdot \cos \varphi_o$	$P_o = U_n \cdot I_o \cdot \cos \varphi_o$
	הספק		

2.4 מפלים מתוח ומתחי עבוזה

—	מפל מתוח באחזoisים	$\Delta U_{\%}$
—	מפל מתוח התנגדותי באחזoisים	$\Delta U_{R\%}$
—	מפל מתוח היגבי באחזoisים	$\Delta U_{X\%}$
—	גורם הספק	$\cos \varphi_2$
—	מקדם העמיסה	β
—	הספק מדומה של העומס	S_2 [VA]
—	הספק נקוב של השנאי	S_n [VA]
—	מתוח שניוני נקוב	U_{2n} [V]
—	מתוח שניוני	U_2 [V]
—	מתוח ראשוני נקוב	U_{1n} [V]
—	מתוח ראשוני	U_1 [V]
—	נצילות השנאי	η

$$\Delta U_{\%} = \beta (\Delta U_{R\%} \cos \varphi_2 + \Delta U_{X\%} \sin \varphi_2)$$

$$\Delta U_{R\%} = \frac{\Delta P_{Cu_n}}{S_n} \cdot 100$$

$$\Delta U_{X\%} = \sqrt{(U_{k\%})^2 - (\Delta U_{R\%})^2}$$

$$U_2 = U_{2n} \left(1 - \frac{\Delta U_{\%}}{100} \right)$$

$$U_1 = U_{1n} \left(1 + \frac{\Delta U_{\%}}{100} \right)$$

2.5 נצילות השנאי		
גורם העמיסה מותאם לנצילות מרובית	$\beta_{\eta_{max}}$	
הפסדי ברזל	ΔP_{Fe}	[W]
הפסדי נחושת נקובים	ΔP_{Cu_n}	[W]

$$\eta = \frac{P_2}{P_2 + \Delta P_{Cu} + \Delta P_{Fe}}$$

$$\eta = \frac{\beta \cdot S_n \cos \varphi_2}{\beta S_n \cos \varphi_2 + \beta^2 \Delta P_{Cu_n} + \Delta P_{Fe}}$$

תנאי לקבלת נצילות מרובית:

$$\beta_{\eta_{max}} = \sqrt{\frac{\Delta P_{Fe}}{\Delta P_{Cu_n}}}$$

2.6 עבודות שונים במקביל

בפעולת שניים במקביל:

הספק מדומה בפועל של S_I
שנאי (1)

הספק מדומה בפועל של S_{II}
שנאי (2)

הספק מדומה בפועל של S_m
שנאי (m)

הספק מדומה של הצרcn S_L

הספק מדומה של העומס S_T

הספק מדומה של העומס
(המיידי המوتر) S_{Tmax}

הספק מדומה נקוב של S_{nI}
שנאי (1)

הספק מדומה נקוב של S_{nII}
שנאי (2)

עכבות קצר של שנאי (1) Z_{kI}

עכבות קצר של שנאי (2) Z_{kII}

מתח קצר באחוזים של
שנאי (1) $U_{k\%I}$

מתח קצר באחוזים של
שנאי (2) $U_{k\%II}$

מתח קצר באחוזים של
שנאי (m) $U_{k\%m}$

מתח קצר באחוזים הנמוך
bijotek mevunin kol hananaim
הפעולים יחד במקביל

שנאי כלשהו מבין השנאים m

מס' השנאים n

$$\frac{S_I}{S_{II}} = \frac{S_{nI} \cdot U_{K\%II}}{S_{nII} \cdot U_{K\%I}}$$

$$\frac{S_I}{S_{II}} = \frac{Z_{kII}}{Z_{kI}}$$

$$S_I + S_{II} = S_L$$

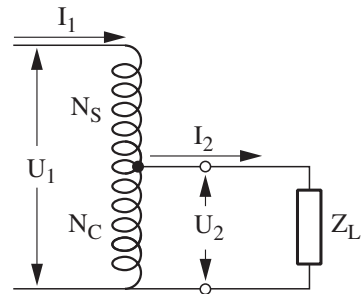
בפעולת מספר שניים מקביל:

$$S_m = \frac{S_T}{\sum_{i=1}^n \left(\frac{S_{ni}}{U_{k\%i}} \right)} \cdot \frac{S_{nm}}{U_{k\%m}}$$

$$S_{Tmax} = \sum_{i=1}^n \left(\frac{S_{ni}}{U_{k\%i}} \right) \cdot U_{k\%min}$$

שנאי עצמי 2.7

- מס' הרכיקות בחלק הלא
משותף של הסליל — N_S [T]
- מס' הרכיקות בחלק
המשותף של הסליל — N_C [T]
- תדירות — f [Hz}
- כח אלקטرومגנטי — E [V]
- מתח — U [V]
- זרם — I [A]
- שטח מגנטי מירבי — Φ_{\max} [Wb]



$$E_S = 4.44 \cdot N_S \cdot f \cdot \Phi_{\max}$$

$$E_C = 4.44 \cdot N_C \cdot f \cdot \Phi_{\max}$$

$$\vec{E}_1 = \vec{E}_S + \vec{E}_C$$

$$\vec{E}_2 = \vec{E}_C$$

$$a = \frac{E_1}{E_2} = \frac{N_S + N_C}{N_C}$$

$$\frac{U_1}{U_2} = \left| \frac{E_1}{E_2} \right| = \frac{N_S + N_C}{N_C}$$

$$\left| \frac{I_1}{I_2} \right| = \frac{U_2}{U_1}$$

$$\vec{I}_C = \vec{I}_2 + \vec{I}_1$$

3. מכונה לזרם ישיר

3.1 חישוב כוח אלקטרו מניע

כא"מ מושרה ברוטור	—	E	[V]
מספר מוליכים ברוטור	—	Z	
מספר זוגותقطבים	—	p	
מהירות סיבוב	—	n	[r.p.m]
מספר זוגות ענפים	—	a	
מקבילים ברוטור			
שטף	—	Φ	[Wb]
מקדם חישוב הכא"מ	—	K _e	

$$E = K_e \cdot \Phi \cdot n$$

$$K_e = \frac{Z \cdot p}{60 \cdot a}$$

מחולל לזרם ישיר

כוח אלקטרו מניע (כ.א.מ.)	—	E	[V]	E = U + I _a · R _a + ΔU _b (עירור מקבילי)
מתוך הדקי המחולול	—	U	[V]	E = U + I · R _a + ΔU _b עירור זר
התנגדות העוגן	—	R _a	[Ω]	E = U + I (R _a + R _{es}) + ΔU _b עירור טורי
התנגדות סליל בעירור טורי	—	R _{es}	[Ω]	
מפל המתוך על המברשות	—	ΔU _b	[V]	3.2 במונע לזרם ישיר
הזרם בעוגן	—	I _a	[A]	E = U - I _a · R _a - ΔU _b (עירור מקבילי)
זרם הצרכן במחולול / זרם	—	I	[A]	E = U - I · R _a - ΔU _b (עירור זר)
המקור במונע				E = U - I (R _a + R _{es}) - ΔU _b (עירור טורי)

3.3 חישוב מהירות

מהירות המכונה	—	n	
---------------	---	---	--

$$n = \frac{E}{K_e \cdot \Phi}$$

3.4 חישוב זרמים במנוע

הזרם הנמדד – I [A] על-ידי המנוע	$I = I_a$	$I_e = \frac{U_e}{R_e}$	עירור זר
הזרם בעוגן – I_a [A] (רוטור)	$I = I_a + I_e$	$I_e = \frac{U}{R_e}$	עירור מקבילי
הזרם בסליל העירור – I_e [A]	$I = I_a = I_e$		עירור טורי

3.5 חישוב זרמים במחולל

הזרם המסופק – I [A] לצרכן על-ידי המחולל	$I = I_a$	$I_e = \frac{U_e}{R_e}$	עירור זר
	$I = I_a - I_e$	$I_e = \frac{U}{R_e}$	עירור מקבילי
	$I = I_a = I_e$		עירור טורי

3.6 חישוב הספקים והפסדי הספק

הספק אלקטrico מגנטי	P_{em}	[W]
הפסדי נחושת	ΔP_{Cu}	[W]
הפסדי נחושת בעוגן (רוטור)	ΔP_{Cu_a}	[W]
הספק מכני	P_{mech}	[W]
הפסדי ברזל	ΔP_{Fe}	[W]
הפסדי נחושת בסיליל העירור	ΔP_{Cu_e}	[W]
הספק מבוא	P_{in}	[W]
הספק מוצא	P_{out}	[W]
הספק חשמלי, P_{em} [W]		
הספק מכני, P_{mech} [W]		

$$P_{em} = U \cdot I$$

$$P_{em} = E \cdot I_a$$

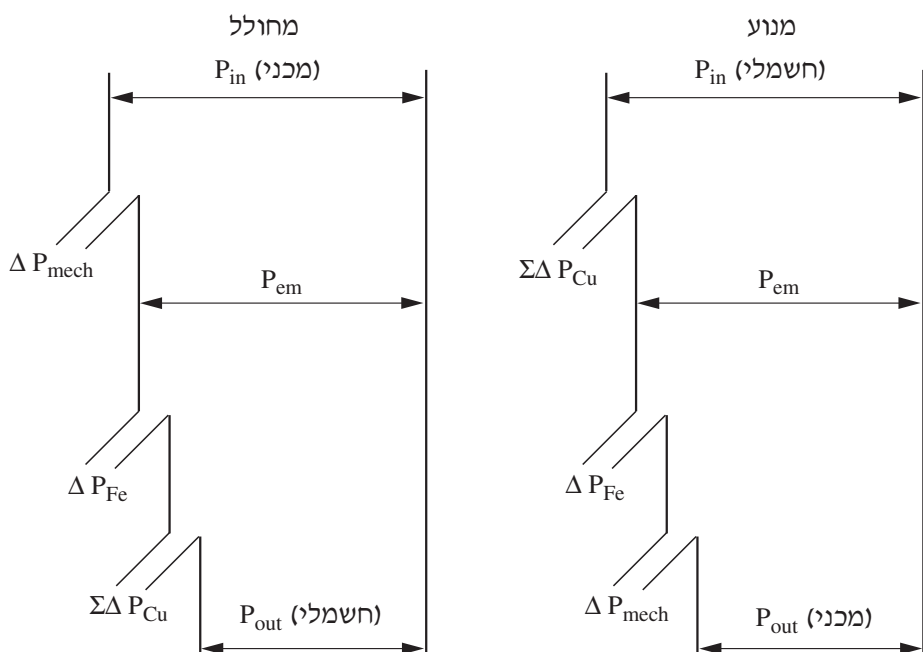
$$\Delta P_{Cu_a} = I_a^2 \cdot R_a$$

$$\Delta P_{Cu_e} = I_e^2 \cdot R_e$$

$$\sum \Delta P = \sum \Delta P_{Cu} + \Delta P_{Fe} + \Delta P_{mech}$$

$$P_{mech} = M \cdot \omega$$

3.7



3.8 מומנטים

מומנט נקוב	M_n	[N · m]
מהירות זוויתית	ω_n	$\left[\frac{\text{rad}}{\text{sec}} \right]$
מהירות סיבוב נקובה	n_n	[r.p.m]
מקדם חישוב המומנט	K_m	
מספר מוליכים ברוטור	Z	
מספר זוגות קטבים	p	
מספר זוגות ענפים	a	
מקבילים בעוגן		
מומנט אלקטرومגנטי	M_{em}	[N · m]
שטח מגנטי	Φ	[Wb]
זרם העוגן	I_a	[A]
הספק אלקטرومגנטי	P_{em}	[W]
סכום הפסדי הנוחות	ΣP_{Cu}	[W]
הפסדי הברזל	ΔP_{Fe}	[W]
הספק מבוא	P_{in}	[W]
הספק מוצא	P_{out}	[W]
איובדי מומוט ברים	ΔM_0	[N · m]

$$M_n = \frac{P_n}{\omega_n} = 9.55 \frac{P_n}{n_n}$$

$$\omega_n = \frac{2\pi n_n}{60}$$

$$M_{em} = K_m \cdot \Phi \cdot I_a$$

$$K_m = \frac{Z \cdot P}{2 \cdot \pi \cdot a}$$

$$\frac{K_e}{K_m} = \frac{2\pi}{60} = 0.1047$$

$$\Delta M_0 = M_{em_n} - M_n$$

3.9 חישוב מהירות במנוע

א. במנוע לזרם ישיר בעירור מקבילי

—	מקדם חישוב הכא"מ	K_e	$n_o = \frac{U}{K_e \Phi}$
—	שטח מגנטי	Φ [Wb]	
—	מהירות המנוע	n [r.p.m.]	$n = n_o - \Delta n$
—	מהירות המנוע ברייקם	n_o [r.p.m.]	
—	זרם בעוגן	I_a [A]	$n = \frac{U - I_a (R_a + R_x)}{K_e \Phi}$
—	זרם כללי (הנוצר מהמקור)	I [A]	
—	זרם העירור	I_e [A]	$n = \frac{U}{K_e \Phi} - M_{em} \frac{R_a + R_x}{K_e \Phi \cdot K_m \Phi}$
—	מומנטALKטרומגנטי	M_{em} [Nm]	
—	מתח	U [V]	$n = \frac{U}{K_e \Phi} - M_{em} \frac{R_a + R_x}{9.55 \cdot (K_e \Phi)^2}$
—	התנגדות העוגן	R_a [Ω]	
—	התנגדות סליל העירור	R_e [Ω]	
—	התנגדות נוספת במעגל העוגן	R_x [Ω]	
			ב. במנוע בעירור טורי
			$n = \frac{U - I (R_a + R_e + R_x)}{K_e \Phi}$

3.10 תכנו מתנע דרגתי למנוע לזרם ישיר בעירור מקבילי

מספר דרגות — m

התנגדות מרבית של מגלן
העוגן ברגע התנועה

(n = 0 , E = 0)

התנגדות הרוטור — R_a [Ω]

$$m = \frac{\ln \frac{r_1}{R_a}}{\ln \lambda}$$

זרם התנועה מרבי בעוגן — I_{a max} [A]זרם מזערி בעוגן — I_{a min} [A]

$$r_1 = \frac{U}{I_{a \max}}$$

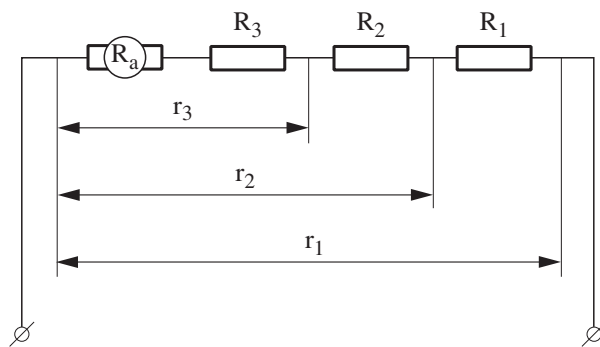
התנגדות הדרגה n — R_n [Ω]

$$\lambda = \frac{I_{a \max}}{I_{a \min}}$$

$$r_n = \frac{r_1}{\lambda^{n-1}}$$

$$r_2 = \frac{r_1}{\lambda}$$

$$R_n = r_n - r_{n+1}$$

מתנע בעל שלוש דרגות

4. מנוע השרatoi – תלת-מודפי

4.1 חישוב זרמים

זרם נקוב קווי – I_{1n} [A]
הספק נקוב המופק על – P_n [W]

ידי המנוע

גורם הספק – $\cos \varphi$

נצילות – η

זרם מופעי בסטטור – I_{ph1} [A]

זרם מופעי ברוטור המשוקן
לסטטור – I_{ph2} [A]

התנגדות סליל אחד
בסטטור – R_1 [Ω]

התנגדות סליל אחד בעוגן – R_2 [Ω]

התנגדות סליל העוגן
המשוקף לסטטור – R'_2 [Ω]

היגב מופעי ברוטור נייח – X_{20} [Ω]

ההיגב הכלול של המנוע – X_T [Ω]

יחס תמסורת בין ערכיהם
מופעיים – a_{ph}

מס' כריכות בסליל – N [T]

מקדם ליפוף של הסליל – K_N

גורם החליקה – s

כא"מ מופעי מושרה ברוטור
נייח ופתוח – $E_{ph2(0)}$ [V]

הספק המנוע בריקם – P_0 [W]

גורם ההספק בריקם – $\cos \varphi_0$

$$I_{1n} = \frac{P_n}{\sqrt{3} \cdot U_n \cdot \cos \varphi \cdot \eta}$$

$$(בhzונחת זרם ריקם) \\ I_{ph1} \approx I_{ph2} = \frac{U_{1ph}}{\sqrt{\left(R_1 + \frac{R'_2}{s}\right)^2 + X_T^2}}$$

$$I_{ph2} = \frac{E_{ph2(0)}}{\sqrt{\left(\frac{R_2}{s}\right)^2 + X_{20}^2}}$$

$$I_{ph2} \cong I_{ph1} \cdot a_{ph}$$

$$a_{ph} = \frac{N_1 \cdot K_{N_1}}{N_2 \cdot K_{N_2}} = \frac{U_{ph1}}{E_{ph2(0)}} \approx \frac{I_{ph2}}{I_{ph1}}$$

4.2 חישוב אזורי של זרמים

$$\rightarrow \rightarrow \rightarrow \\ I_{ph1} = I_{ph2}' + I_{ph0}$$

$$\rightarrow \\ I_{ph2} = \frac{U_{1ph}}{\left(R_1 + \frac{R'_2}{s}\right) + jX_T}$$

4.3 זרם התנועה

(בזהירות זרם ריקם)

— זרם פאזרורי מופעי
בסטטור בהתנועה $I_{ph1(st)}$ [A]

— זרם פאזרורי מופעי
ברוטור משוקף לסטטור
בהתנועה $I_{ph2(st)}$ [A]

$$I'_{ph2(st)} \approx I_{ph1(st)} = \frac{U_{ph1}}{\sqrt{(R_1 + R'_2)^2 + X_T^2}}$$

$$X_T = X_1 + X'_{2(0)}$$

$$X'_{2(0)} = X_{2(0)} \cdot a_{ph}^2$$

$$R'_2 = R_2 \cdot a_{ph}^2$$

4.4 מהירות וגורם החלקה

— מהירות סינכרונית n_s [r.p.m]

$$n_s = \frac{60 \cdot f_l}{p}$$

— תדירות הרשת f_l [Hz]

$$f_2 = f_l \cdot s$$

— מס' זוגות קטבים p

$$s = \frac{n_s - n}{n_s}$$

— תדירות הזרם ברוטור f_2 [Hz]

— גורם החלקה (חליקה) s

— מהירות קריטית n_k [r.p.m]

— היחס בין המומנט המרבי למומנט הנקוב של המנוע λ_{max}

$$\lambda_{max} = \frac{M_k}{M_n} = \left(\frac{s_k}{s_n} + \frac{s_n}{s_k} \right) \cdot \frac{1}{2}$$

— מומנט מרבי (קריטי) M_k

$$s_k = s_n \left[\lambda_{max} \pm \sqrt{\lambda_{max}^2 - 1} \right]$$

— מומנט נקוב M_n

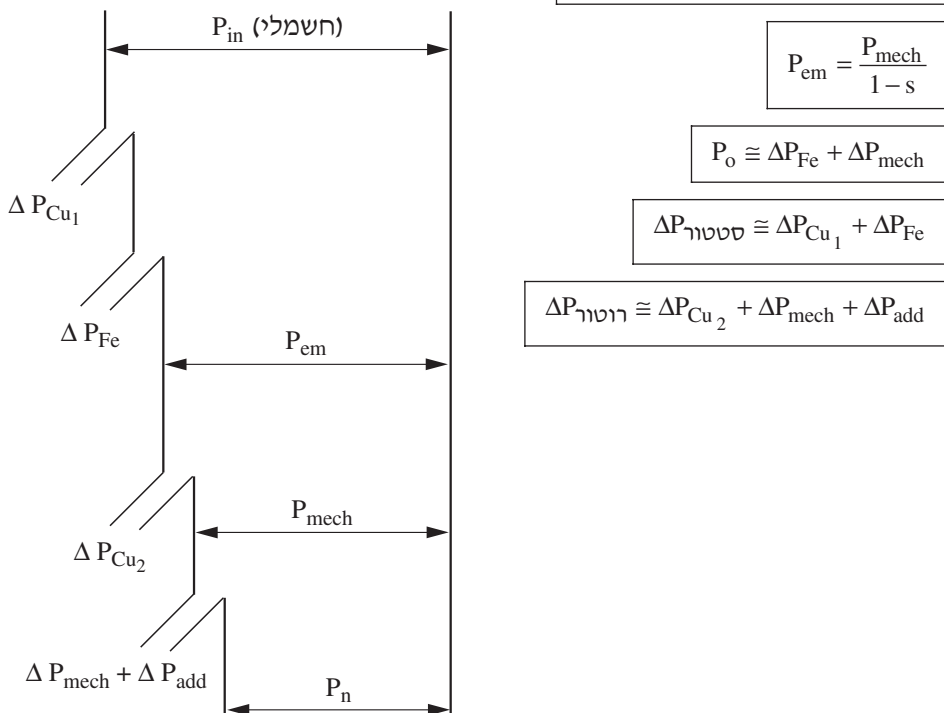
— גורם החלקה במומנט קרייתי S_k

$$S_k = \frac{R'_2}{\sqrt{R_1^2 + X_T^2}} \approx \frac{R'_2}{X_T}$$

— גורם החלקה במומנט נקוב S_n

4.5 הספקים ואיבודיו הספק

הספק (ממשי) מושקע	P_{in}	[W]	$\Delta P_{Cu_1} = 3 \cdot I_{1ph}^2 \cdot R_1$
הספק מופק על גל המנוע	P_n	[W]	
הספק אלקטромגנטי	P_{em}	[W]	$\Delta P_{Cu_2} = 3 \cdot I_{2ph}^2 \cdot R_2 = 3 \cdot I_{2ph}'^2 \cdot R_2'$
הספק מכני	P_{mech}	[W]	
איבוד נוחות בסטטור	ΔP_{Cu_1}	[W]	$\Delta P_{Cu_2} = P_{em} \cdot s = P_{mech} \cdot \left(\frac{s}{1-s} \right)$
איבוד נוחות ברוטור	ΔP_{Cu_2}	[W]	
איבוד ברזול ברוטור	ΔP_{Fe}	[W]	
איבוד חיכוך ואיוורור	ΔP_{mech}	[W]	$P_{em} = \frac{P_{mech}}{1-s}$
איבודים נוספים	ΔP_{add}	[W]	$\Delta P_{Cu_1} = 3 \cdot I_{1ph}^2 \cdot R_1$
גורם הספק בסטטור	$\cos \varphi_1$		
זרם קו依 בסטטור	I_1	[A]	$\Delta P_{Cu_2} = 3 \cdot I_{2ph}^2 \cdot R_2 = 3 \cdot I_{2ph}'^2 \cdot R_2'$
הספק המנוע ברכיב	P_o	[W]	
גורם החלוקת	s		$\Delta P_{Cu_2} = P_{em} \cdot s = P_{mech} \cdot \left(\frac{s}{1-s} \right)$



4.6 חישובי מומנטויים

המהירות הזוויתית של הרוטור	ω_n	$\left[\frac{\text{rad}}{\text{sec}} \right]$	$\omega_n = \frac{2\pi n_n}{60}$
המהירות הזוויתית של השדה המסתובב	ω_s	$\left[\frac{\text{rad}}{\text{sec}} \right]$	$\omega_s = \frac{2\pi \cdot n_s}{60}$
מהירות סיבובית של השדה (סנכרונית)	n_n	[r.p.m]	$M_n = \frac{P_n}{\omega_n} = 9.55 \cdot \frac{P_n}{n_n}$
הספק נקוב מופק של המנוע	P_n	[W]	$M_{em} = \frac{P_{em}}{\omega_s} = 9.55 \frac{P_{em}}{n_s}$
הספק אלקטромגנטי	P_{em}	[W]	$M_{em} = \frac{3 \cdot 9.55 \cdot U_{ph}^2 \cdot R_2'}{n_s \left[\left(R_1 + \frac{R_2'}{s} \right)^2 + X_T^2 \right]}$
מומנט אלקטромגנטי בהתעעה	$M_{em,start}$	[Nm]	$M_{em,start} = \frac{3 \cdot 9.55 \cdot U_{ph}^2 \cdot R_2'}{n_s \left[\left(R_1 + R_2' \right)^2 + X_T^2 \right]}$
מומנט אלקטромגנטי	M_{em}	[Nm]	
מומנט מרבי (קריטי)	M_k	[Nm]	$M_k \equiv \frac{3 \cdot 9.55 \cdot U_{ph}^2}{2 \cdot n_s \cdot X_T}$
			$M = \frac{2 \cdot M_k}{s_K} + \frac{s}{s_K}$
			$\frac{M_I}{M_{II}} = \left(\frac{U_I}{U_{II}} \right)^2$
			$\frac{M_{start}(\Delta)}{M_{start}(Y)} = 3$

4.7 נגד נושא במעגל רוטור

א. כאשר המנוע מועמס במומנט נקוב

$$R_x = R_2 \left(\frac{s_x}{s_n} - 1 \right)$$

ב. כאשר המנוע מועמס במומנט כלשהו – M_x

התנגדות נגד טורי נסוך – R_x [Ω]
لسיל הרוטור

$$R_x = R_2 \left(\frac{M_n \cdot s_x}{M_x \cdot s_n} - 1 \right)$$

התנגדות סליל הרוטור – R_2 [Ω]

חליקה נקובת – s_n

חליקה מותאמת למהירות – s_x
 n_x

היחס בין מומנט מרבי
لمומנט נקוב

4.8 תכון מתנדד הדורגי למנוע השראתי רוטור מלופף

מספר דרגות התנועה – m
התנגדות מרבית של מעגל
הרוטור ברגע ההתנועה – r_1 [Ω / ph]

$$r_1 = R_2 \cdot \frac{M_n}{M_{\max} \cdot s_n}$$

התנגדות מעגל הרוטור
לפאה – R_2 [Ω / ph]

$$\lambda = \frac{M_{\max}}{M_n}$$

מומנט מזערி בהתנועה – M_{\min} [Nm]

$$m = \frac{\ln \frac{r_1}{R_2}}{\ln \lambda}$$

מומנט מרבי בהתנועה – M_{\max} [Nm]

מומנט נומינלי – M_n [Nm]

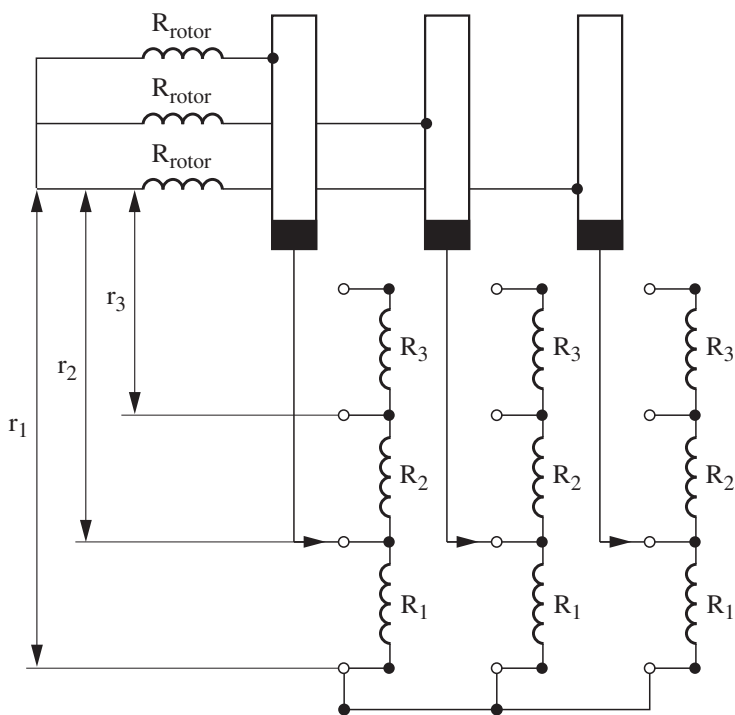
$$r_2 = \frac{r_1}{\lambda}$$

התנגדות כוללת של דרגה n – r_n [Ω / ph]

$$r_n = \frac{r_1}{\lambda^{n-1}}$$

התנגדות הדורגה n – R_n [Ω / ph]

$$R_n = r_n - r_{n+1}$$



5. כוחות ומומנטים במערכות הינע

5.1 תנועה קוית

כוח מניע	—	F	[N]	משוואת התנועה:
כוח דינמי	—	F_d	[N]	משוואת התנועה: $F = F_s + F_d$
כוח נגדי	—	F_s	[N]	
מסת הגוף	—	m	[kgf · s ² / m] [kg]	$F_d = m \frac{dv}{dt} = ma$
מהירות	—	v	[m / s]	
תאוצה	—	a	[m / s ²]	

5.2 תנועה סיבובית

מומנט סיבובי	—	M	[N · m]	משוואת התנועה:
מומנט סטטי (נגדי)	—	M_s	[N · m]	משוואת התנועה: $M = M_s + M_d$
מומנט דינמי	—	M_d	[N · m]	
מומנט התמדה (איינרציה)	—	J	[kgf · m · s ²]	$M_d = J \frac{d\omega}{dt}$
תאוצה זוויתית	—	$\frac{d\omega}{dt}$	$\left[\frac{\text{rad}}{\text{sec}} \right]$	
מומנט תנופה	—	GD^2	[kgf · m ²]	$M - M_s = \frac{GD^2}{38.2} \frac{dn}{dt}$
תאוצת הכלובד	—	$g = 9.8$	[m/s ²]	
קוטר האינרציה	—	D	[m]	$GD^2 = 4gJ$
מהירות סיבוב	—	n	[r.p.m]	

6. העברת מומנטים

תנועה סיבובית

העברה מומנט סטטי

— מומנט סטטי (נגד) של המנגנון M_{sm} [kgf · m]

$$M_s = \frac{M_{sm}}{K \cdot \eta}$$

— מומנט סטטי (נגד) המועבר לציר המנוע M_s [kgf · m]

$$K = \frac{n}{n_m}$$

— מהירות סיבוב ציר המנוע n [r.p.m]

עבור תמסורת של n גלגלי שיניים:

$$M_s = M_{sm} \cdot \frac{1}{K_1 K_2 \dots K_i \eta_1 \eta_2 \dots \eta_i}$$

— מהירות סיבוב ציר המנגנון n_m [r.p.m]

— נצילות התמסורת η

העברה מומנטי תנופה לציר המנוע

— מומנט תנופה של המנוע GD_N^2 [kgf · m²]
— מומנט תנופה של גלגל התמסורת ה- i או העומס הנדי ה- i GD_i^2 [kgf · m²]

$$GD^2 = GD_N^2 + \sum_{i=1}^m (GD^2)_i \frac{1}{K_i^2}$$

— מהירות סיבוב ציר המנוע n [r.p.m]
— מהירות סיבוב הציר המשני n_i [r.p.m]
של התמסורת או של העומס הנדי

$$K_i = \frac{n}{n_i}$$

$$1 \text{ kgf} = 9.81 \text{ N}$$

העברה מסות ומומנטים מתנוועה קווית לתנוועה סיבובית**העברה כוח סטטי למומנט סיבובי על ציר המנווע**

המומנט הסטטי המועבר
לציר המנווע — M_s [N · m]

$$M_s = 9.55 \frac{F_{sm} \cdot v}{n \cdot \eta}$$

הכוח הנגדי של העומס (או
של המטען) — F_{sm} [N]

$$v = \frac{\pi D n}{60}$$

המהירות הקווית של
הטען — v [m / s]

מהירות הסיבוב של ציר
הmenoוע — n [r.p.m]

נצילות התמסורת — η

קוטר התוּר — D [m]

העברה מסות למומנט תנופה

משקל הגוף — G [kgf]

$$GD^2 = 365G \left(\frac{v}{n} \right)^2$$

זמן התנוועה וזמן עצירה

(בנחה שהמומנט הדינמי ו- GD^2 קבועים)

מומנט תנופה — GD^2 [kgf · m²]

$$t = \frac{GD^2}{38.2} \frac{n_2 - n_1}{M - M_s} \quad \text{בהתנוועה:}$$

מהירות סיבוב ההתחלתית — n_1 [r.p.m]

$$t = \frac{GD^2}{38.2} \frac{n_2 - n_1}{M + M_s} \quad \text{בבלימה:}$$

מהירות סיבוב סופית — n_2 [r.p.m]

מומנט סיבובי — M [N · m]

מומנט סטטי (נגדן) — M_s [N · m]